





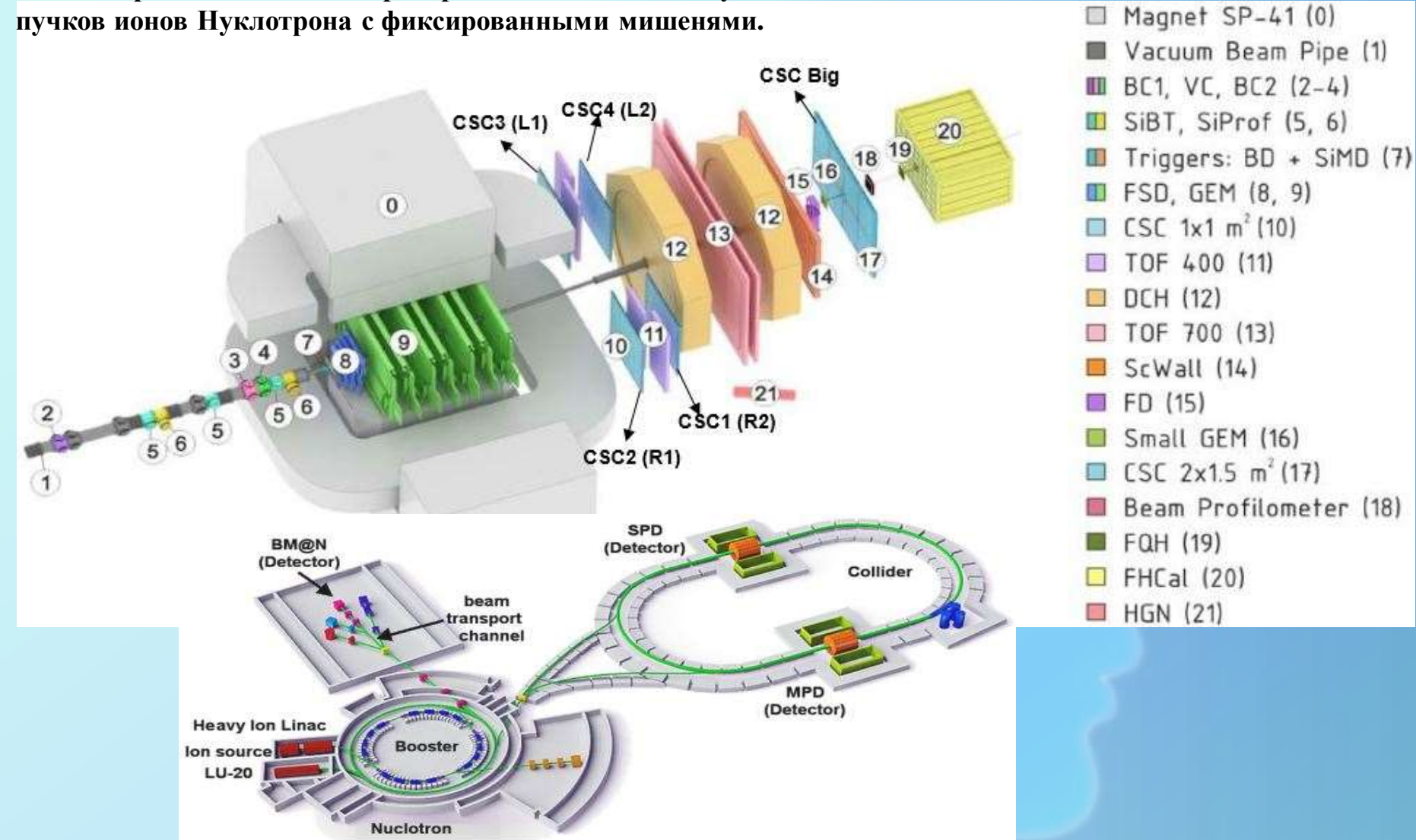
Разработка и тестирование Катодно-стриповых камер (CSC) для эксперимента ВМ@N

Расулжон Каттабеков – ЛФВЭ ОИЯИ

ЯДРО - 2025

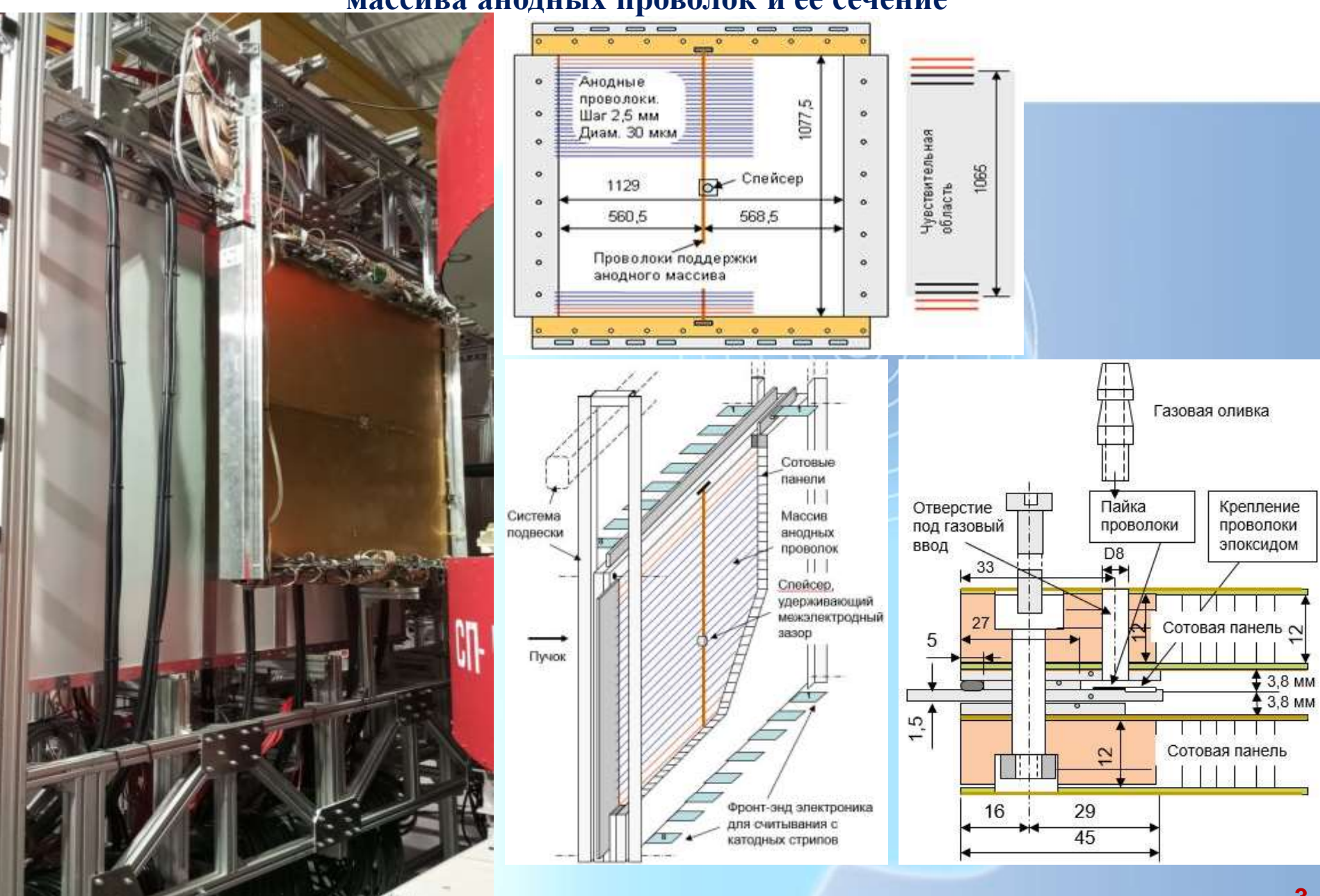
Эксперимент **ВМ@N**

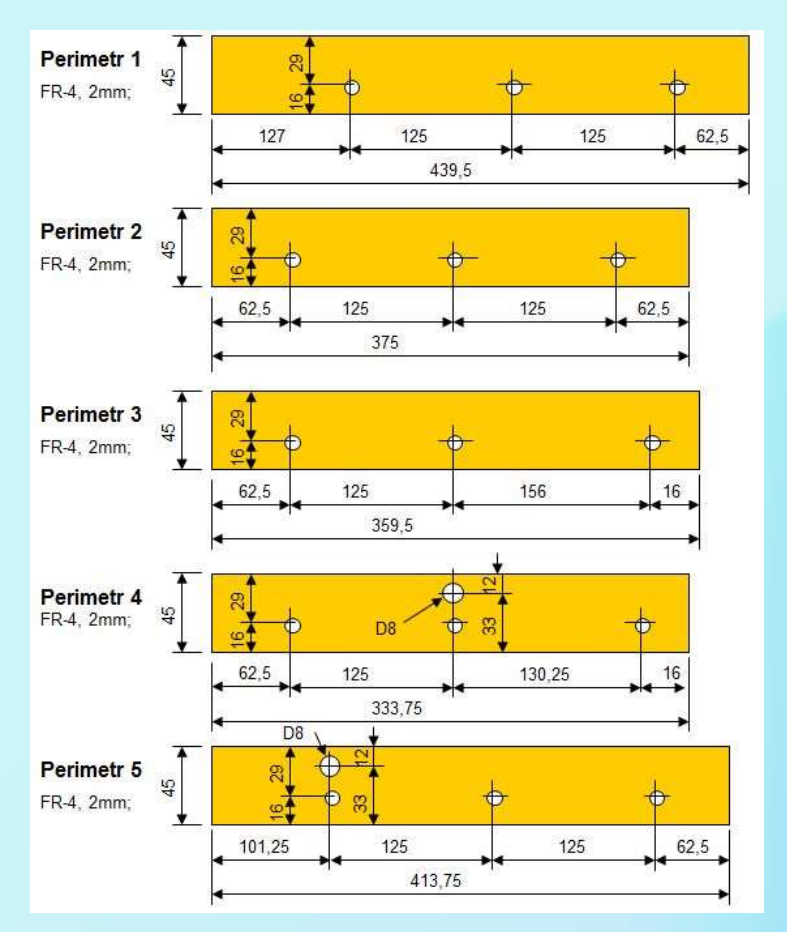
BM@N (Baryonic Matter at Nuclotron) - первый эксперимент, работающий на ускорительном комплексе Нуклотрон/NICA в ОИЯИ. Целью эксперимента BM@N является исследование динамики реакций и изучение модификации свойств адронов в ядерной материи, рождение странных гиперонов около порога и поиск гиперядер с использованием установки BM@N во взаимодействиях выведенных

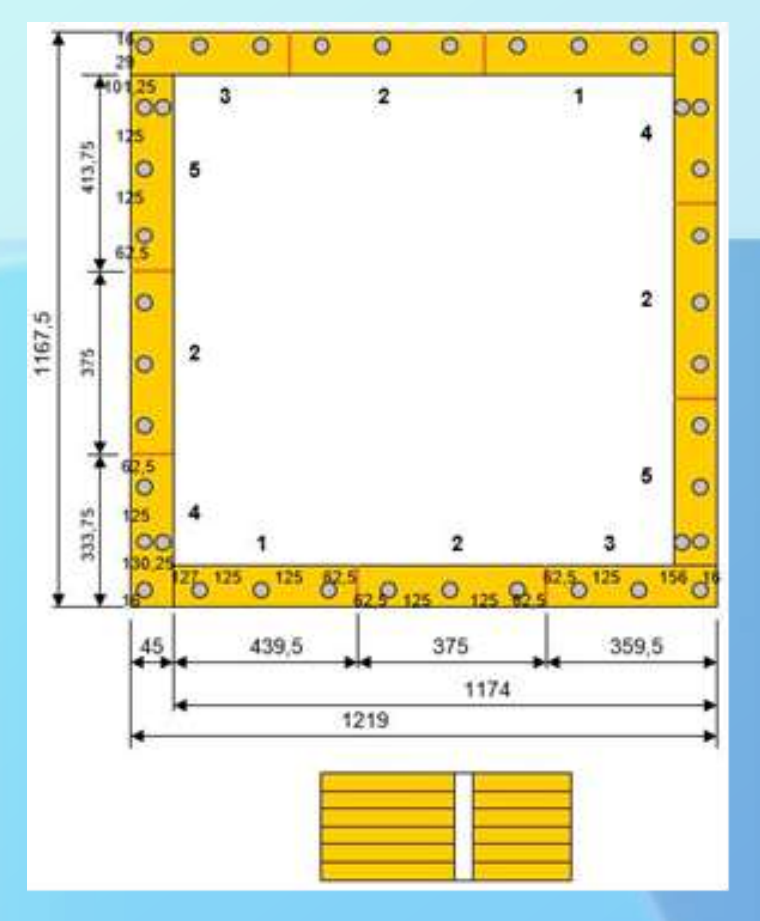


Конструкция катодно-стриповой камеры. Общий вид камеры со стороны

массива анодных проволок и её сечение

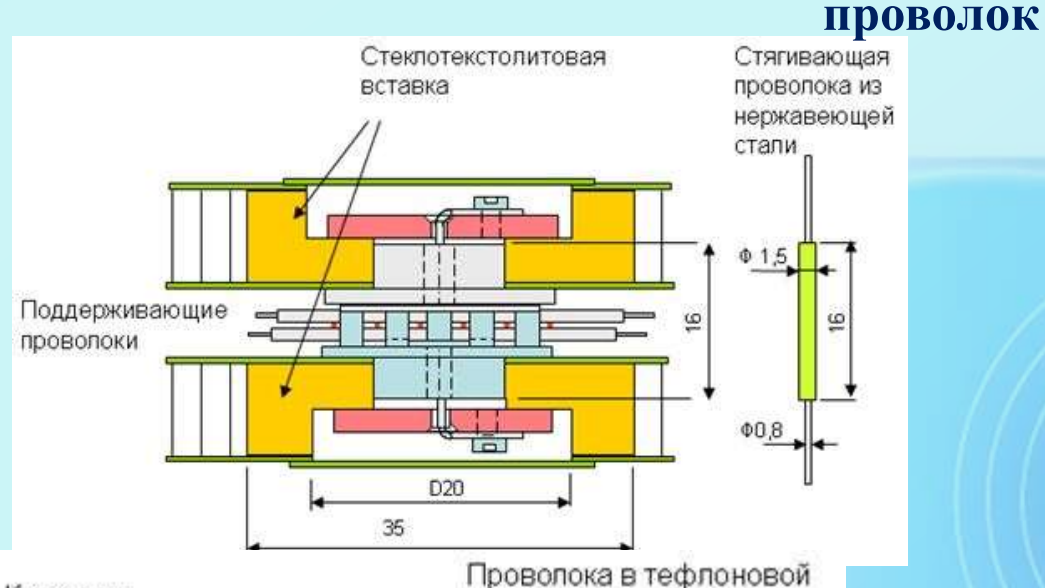






	Perimetr-1	Perimetr-2	Perimetr-3	Perimetr-4	Perimetr-5	Общая	
	439.5 мм	375 мм	359.5 мм	333.75 мм	413.75 мм	кол-во	
						шт.	
Корпус	12	24	12	12	12		
Крышка	12	24	12	12	12	144	
Всего	24	48	24	24	24	E .	

Сечение спейсерного узла и пересечение спейсера с массивом анодных



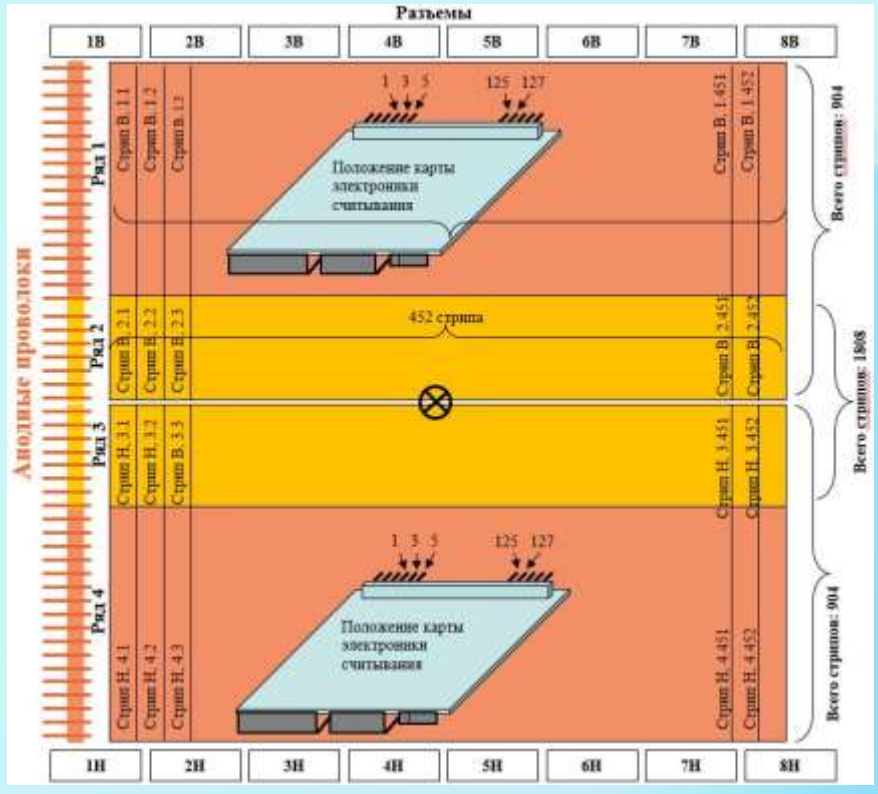






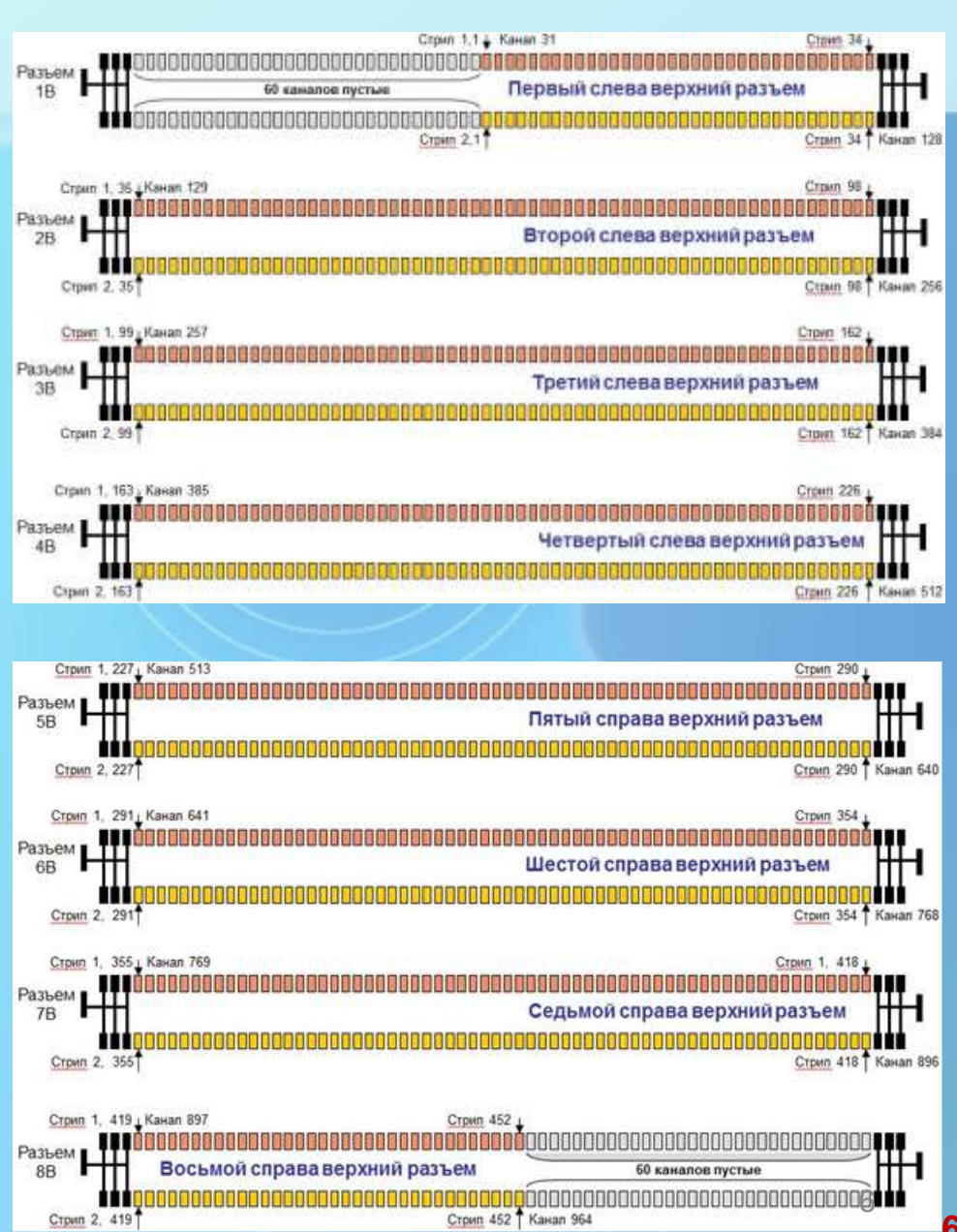


Геометрия стрипов катодной плоскости, расположенной на корпусе камеры.

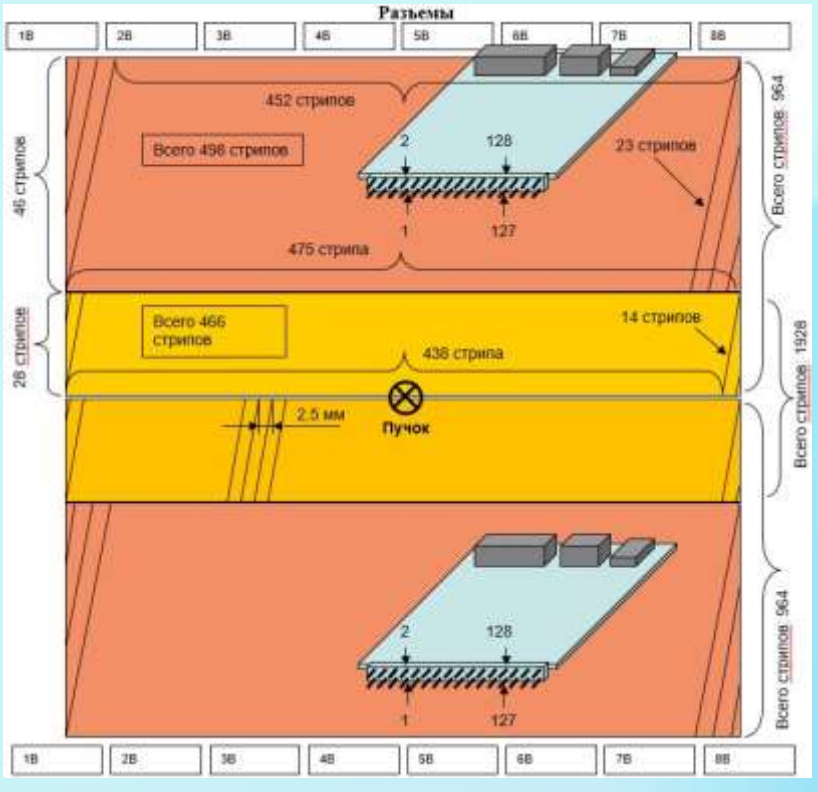




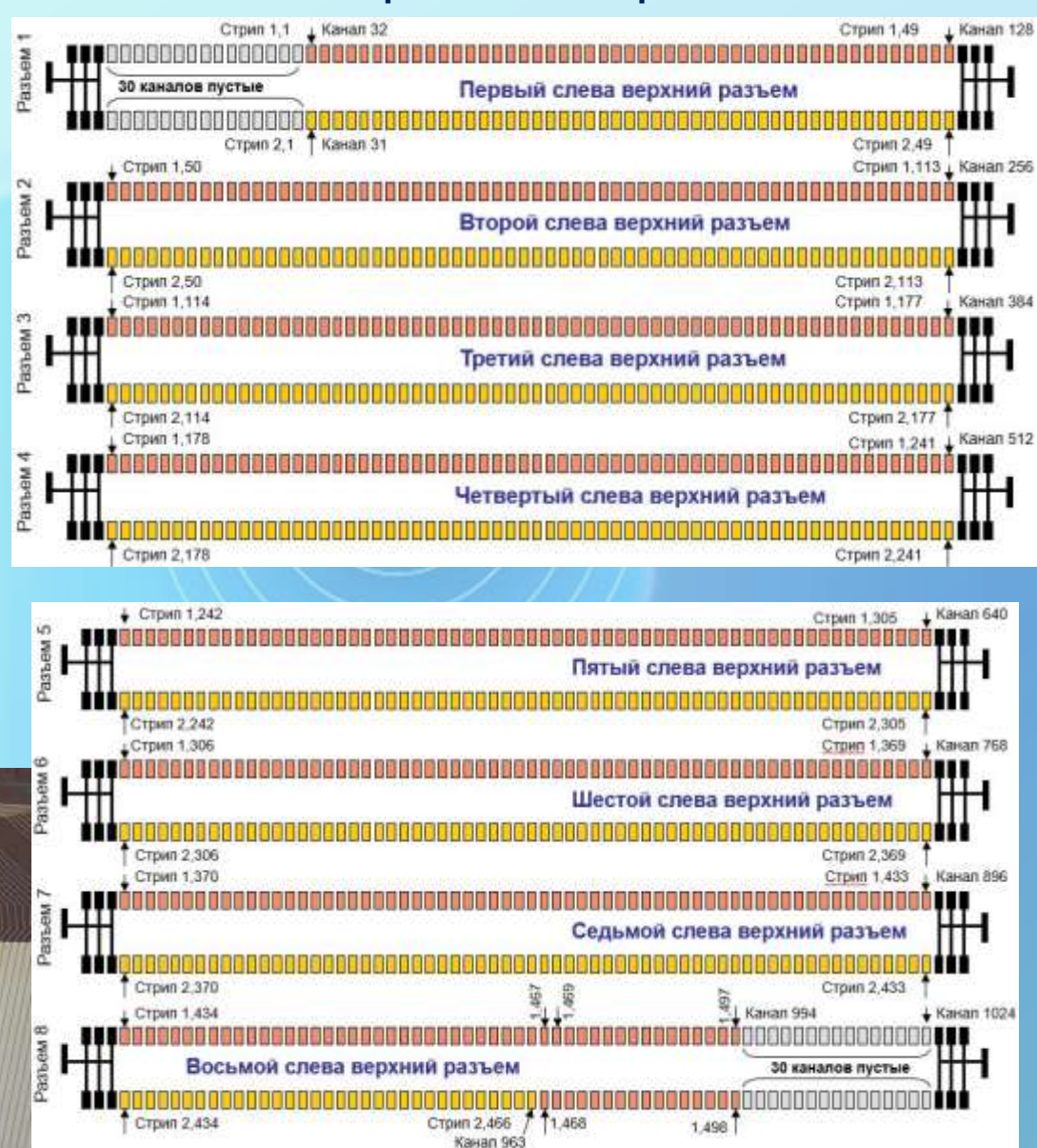
Разводка вертикальных стрипов на разъемы камеры. Вид со стороны стрипов



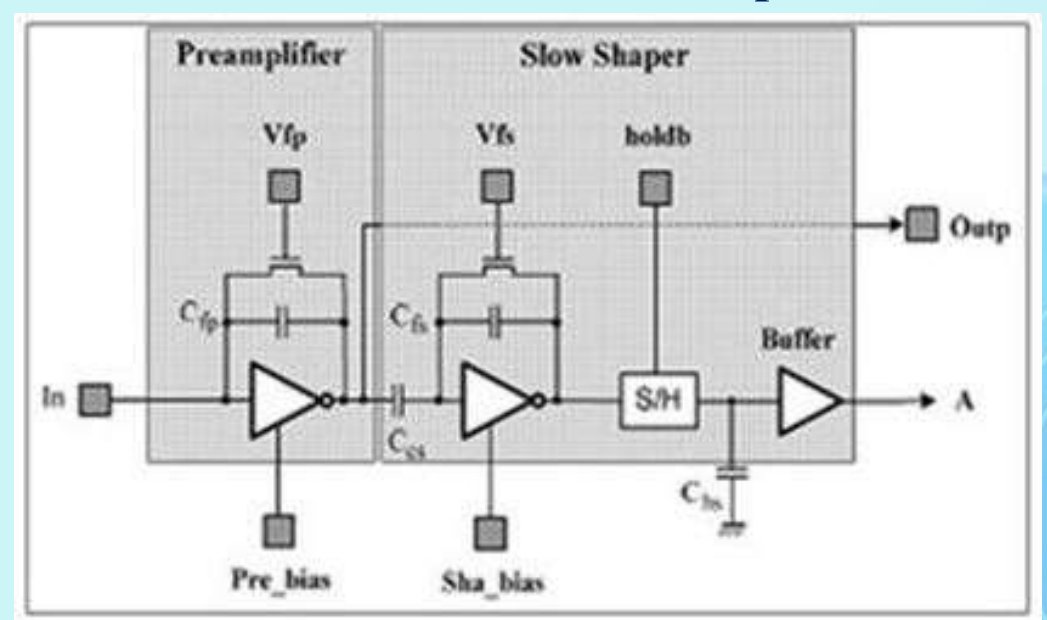
Геометрия наклонных стрипов на крышке камеры



Разводка косых стрипов на верхние и на нижные разъемы камеры



Считывающая электроника и система сбора данных





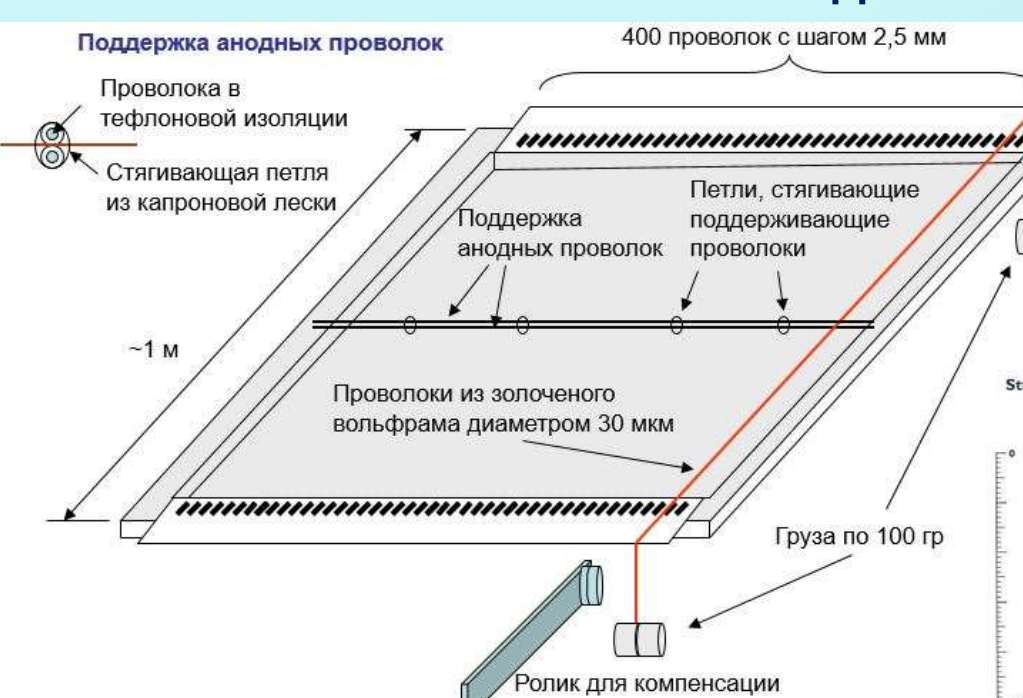
-[Ampi- shaper + S/H +	1
DE1162	32 channels Bogging	ADC channel
-	Ampt- shaper S/H	ADC
DE1162	32 channels Bolgary Amplifying S/H S/H S/H S/H	channel
-	Amplishaper S/H	ADC
DE1162	32 channels 50 Bollery Signature Sig	channel
-	Ampt- shaper S/H	(Канал
DE1162	32 channels S/H S/H	XX_ADC
L	S/H Clock	_

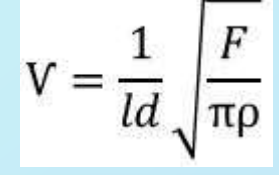
	VA162	VA163
Number of channels	32	32
Input charge	$-1.5pC \div +1.5fC$	-750fC ÷ +750fC
Shaping time	2÷2.5μs	500ns
Noise	2000e ENC at 50pF load	1797e ENC at 120pf load
Linearity positive charge	1%	0.5%
Linearity negative charge	3%	1.4%
Gain	$0.5 \mu\text{A/fC}$	0.88 μA/fC
Total power max.	66 mW	77 mW

Характеристики считывающей электроники VA162 и VA163

Распайка массива анодных проволок

потери натяжения на трение





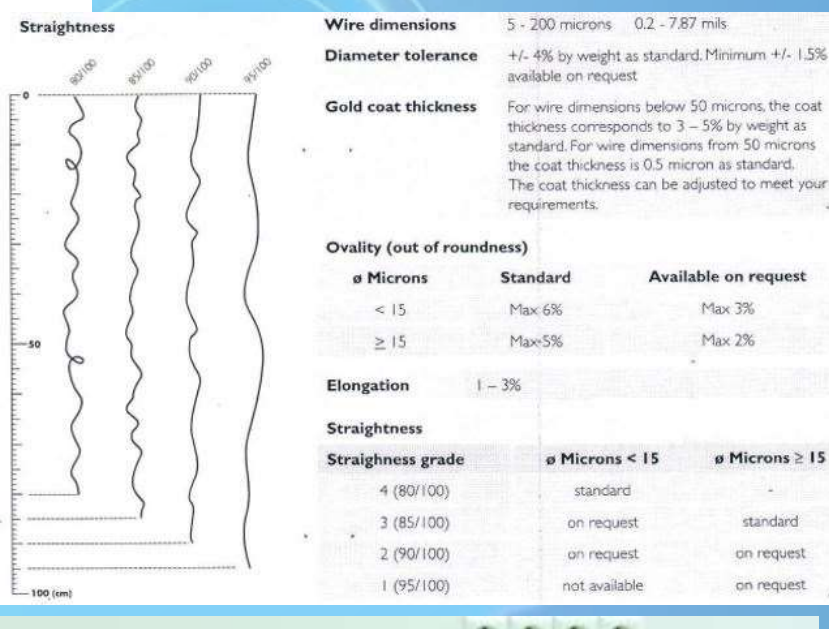
v - частота

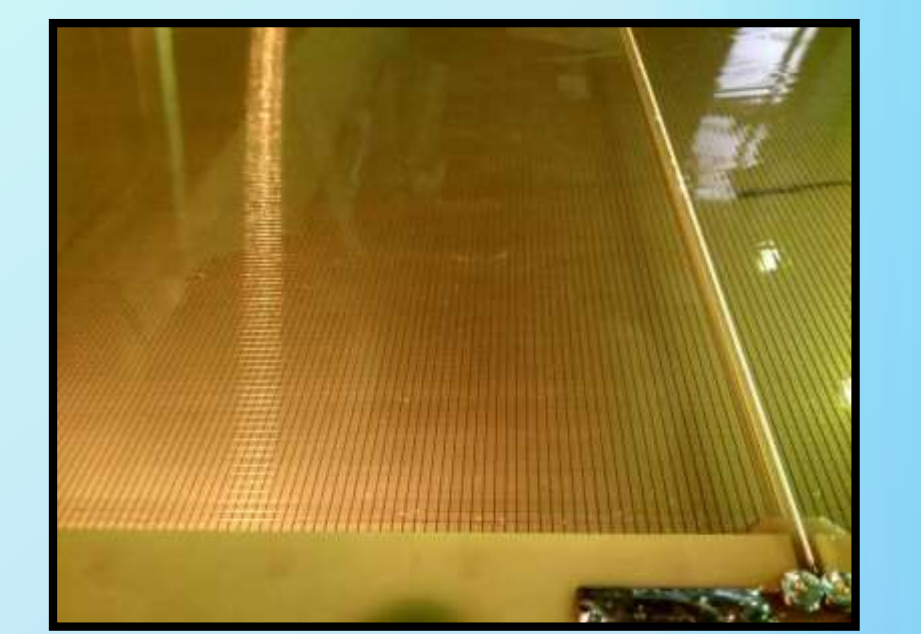
длина

d - диаметр проволоки

F - сила натяжения проволоки

р - плотность материала проволоки

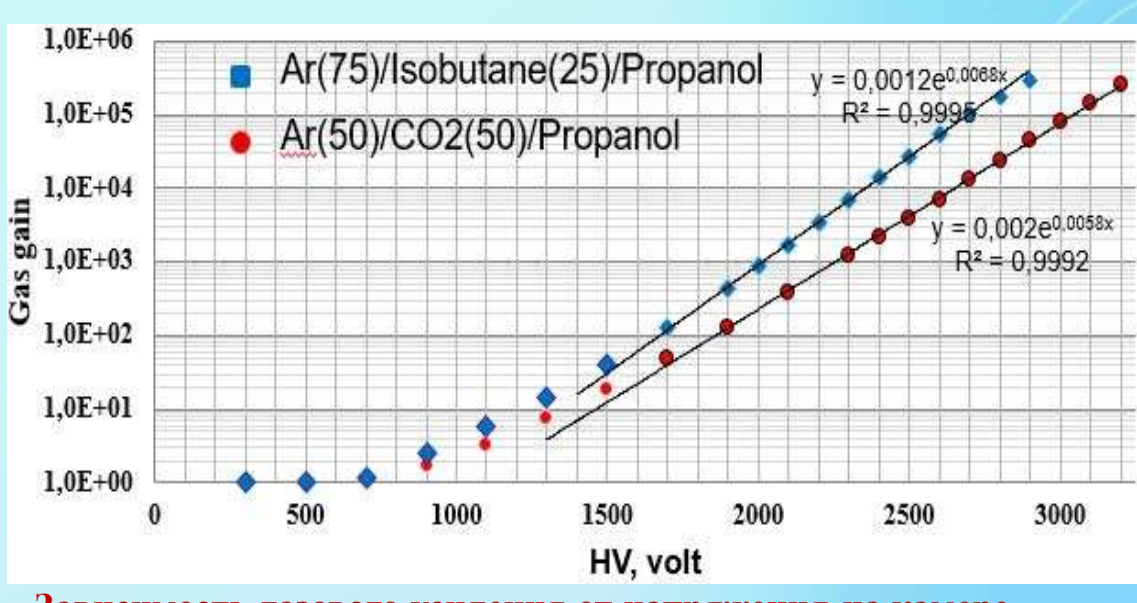






Газовая система

Газовая измерения были выполнены для двух различных газовых смесей – синие точки – смесь аргона и изобутана, красная точка – смесь аргона и углекислого газа. В нашем работе рабочий объем камеры продувается специальной газовой смесью на основе аргона с добавками изобутана и паров пропанола. Аргон обеспечивает возможность газового усиления. Изобутан препятствует развитию газового разряда до электрического пробоя между электродами. Возбужденные атомы Ar в области лавины испускают ультрафиолет, который вызывает рост лавины вдоль проволочки и вырывает дополнительные электроны из катодов камеры. Для предотвращения этих эффектов в Ar добавили пары спирта С₃Н₇ОН. Пар спирта эффективно поглощают ультрафиолет из лавины.



Зона с поддержкой провопочного массива

Распределение равномерности отклика по поверхности камеры

Зависимость газового усиления от напряжения на камере





Стендовые испытания

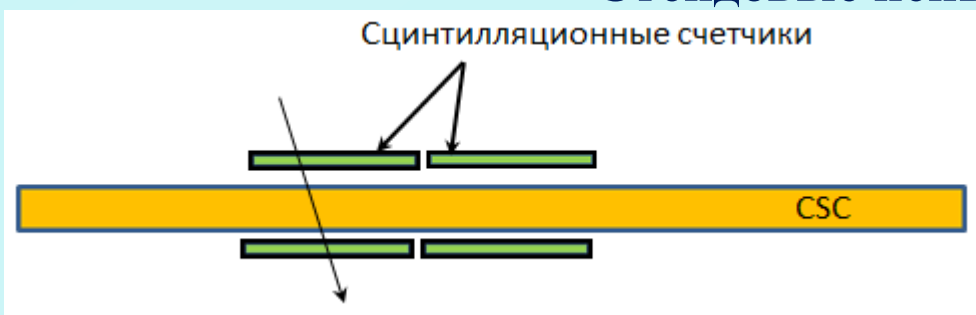
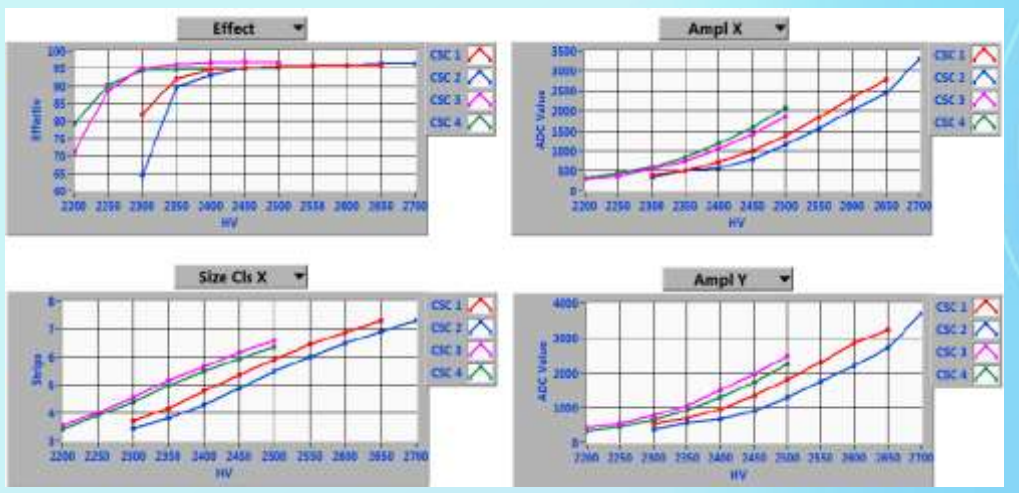


Схема стендовых испытаний CSC на космических мюонах



Характеристики СSС в зависимости от ВВ напряжения: эффективность (слева вверху), размер кластера по X (слева внизу), амплитуды по X (справа вверху), амплитуды по Y (справа внизу)

CSC	Напряжение, V	Зазор, мм	Эффективность		
CSC 1 (R2)	2520	3.8	93.75 %		
CSC 2 (R1)	2540	3.8	94.75 %		
CSC 3 (L1)	2420	3.6	94.28 %		
CSC 4 (L2)	2480	3.6	95.15 %		

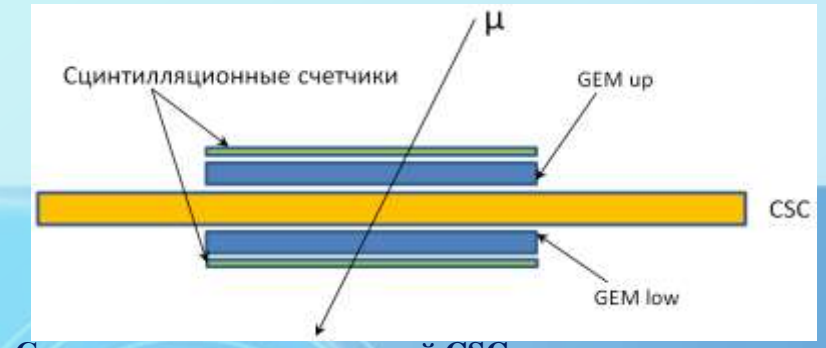
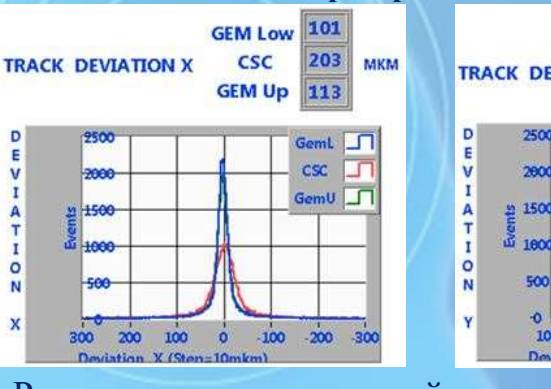
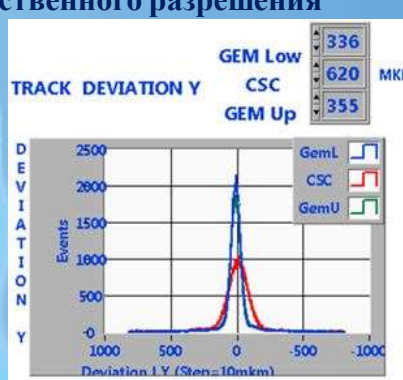


Схема стендовых испытаний CSC на космических мюонах для оценки пространственного разрешения



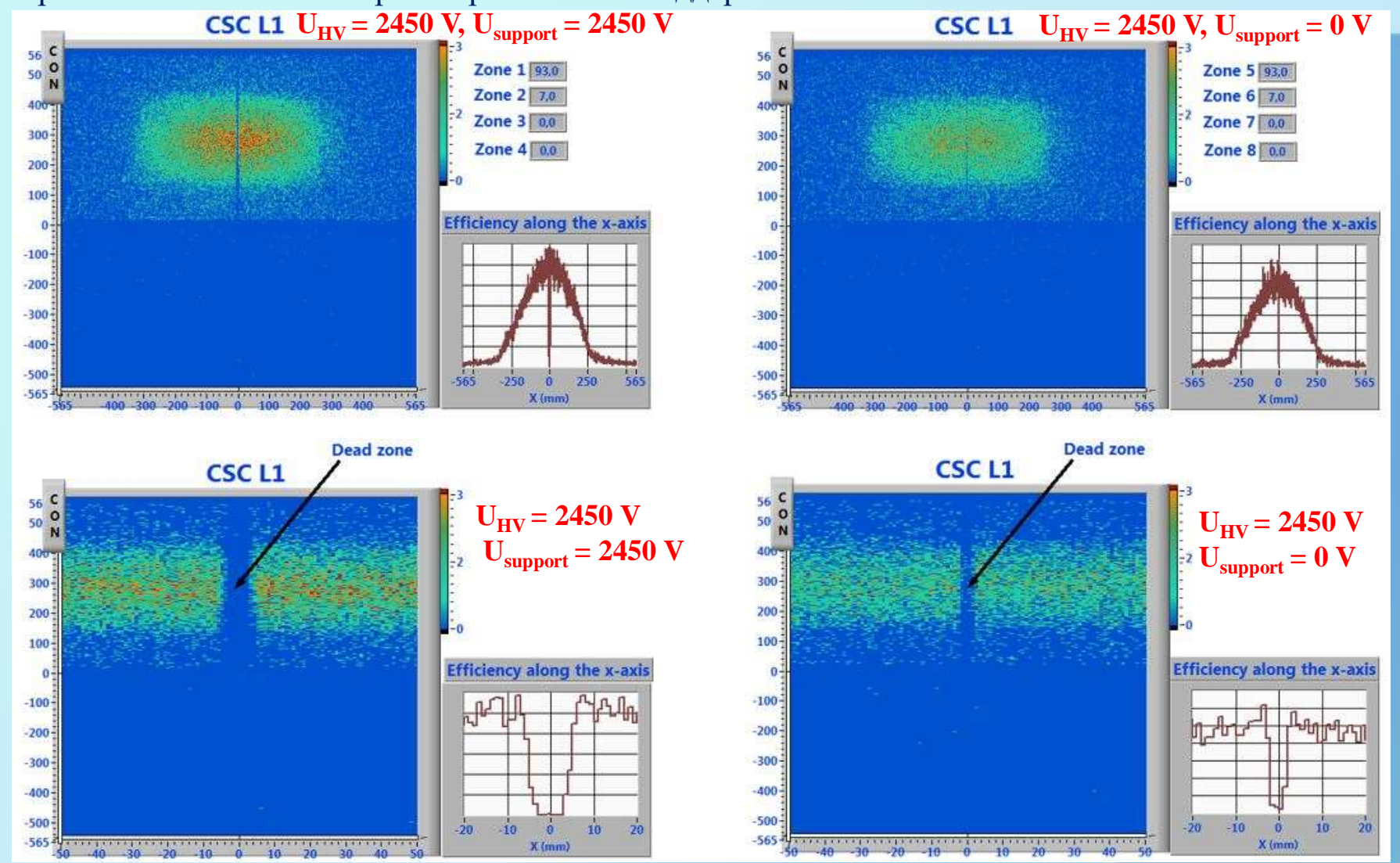


Распределения отклонений координат траекторий частиц от координат сработавших стрипов для X и Y CSC3.

Также были проведены стендовые испытания на космических мюонах для оценки CSC. Были пространственного разрешения построены распределения отклонений координат траекторий частиц от координат сработавших стрипов для CSC3. В результате были получены стандартных величины отклонений 203 мкм по Х-координате и 620 мкм по Ү-координате.

11

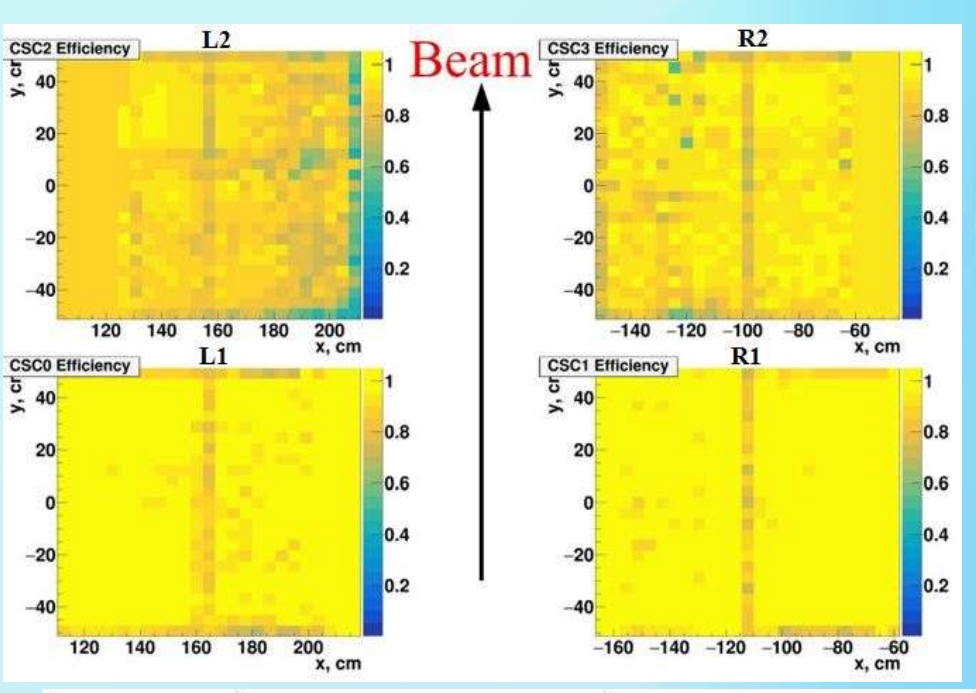
С целью выяснения влияния поддерживающих линий были построены распределения сработавших стрипов координатной плоскости X при напряжении на поддержке 2450 V и при нулевом напряжении для CSC3. Неэффективная область в районе поддержки при нулевом напряжении меньше чем при напряжении на поддержке 2450 V.

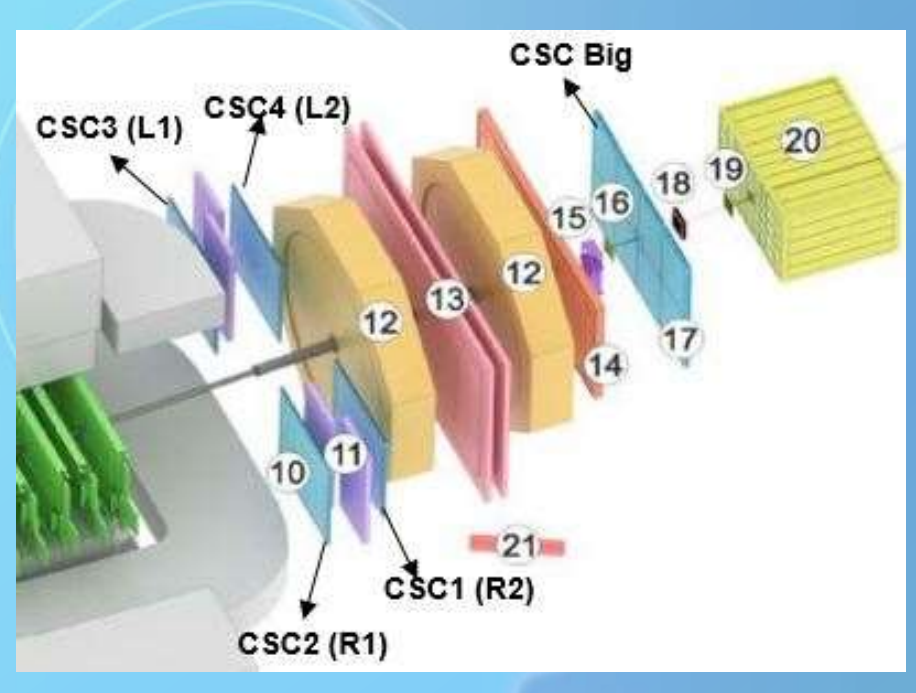


Распределения сработавших стрипов координатной плоскости X при напряжении на поддержке 2450 V и при нулевом напряжении для CSC3 (L1)

Работа CSC в составе спектрометра BM@N

Эффективность дальних по пучку CSC4 и CSC1 меньше эффективности ближних CSC3 и CSC2, так как в дальние CSC попадают вторичные частицы, образовавшиеся в результате взаимодействия первичных частиц с ближними CSC и ToF-400. Области однородной эффективности, заметные в дальних CSC, соответствуют областям, куда не попадают треки, проходящие через ToF-400. В центре каждой камеры видна область расположения поддержки.





№ Run CSC3 (L1)		3 (L1)	CSC2 (R1)		CSC4 (L2)		CSC1 (R2)	
	ε, %	N_{tr}	ε, %	N _{tr}	ε, %	N _{tr}	ε, %	N_{tr}
7498	96.33	25538	98.28	40546	84.48	18963	91.8	30268
7482	96.72	97507	97.35	85622	86.85	79913	91.90	68884
835	97.3	149765	98.32	116955	86.91	100637	92.62	92979

Заключение

При работе CSC с газовой смесью $Ar(75\%)/C_4H_{10}(25\%)/C_3H_8O(пары)$ была получена необходимая эффективность регистрации заряженных частиц (до 96%). Длина плато кривой эффективности составила 200-250 Вольт. Включение этих камер в состав спектрометра BM@N обеспечило требуемую точность при восстановлении траекторий заряженных частиц в области за магнитом с целью точной привязки к трекам, реконструированным в детекторах FSD и GEM внутри анализирующего магнита. Использование камер CSC позволило отфильтровать ложные треки и треки с плохо восстановленными параметрами, а также обеспечило возможность надёжного сопоставления указанных треков с сигналами времяпролётных систем TOF400 и TOF700.

Создание спектрометра BM@N в конфигурации с CSC с размером рабочей области 1×1 м² позволило начать широкую программу экспериментальных исследований на ускорительном комплексе Нуклотрон / NICA в ОИЯИ.

Спасибо за внимание!

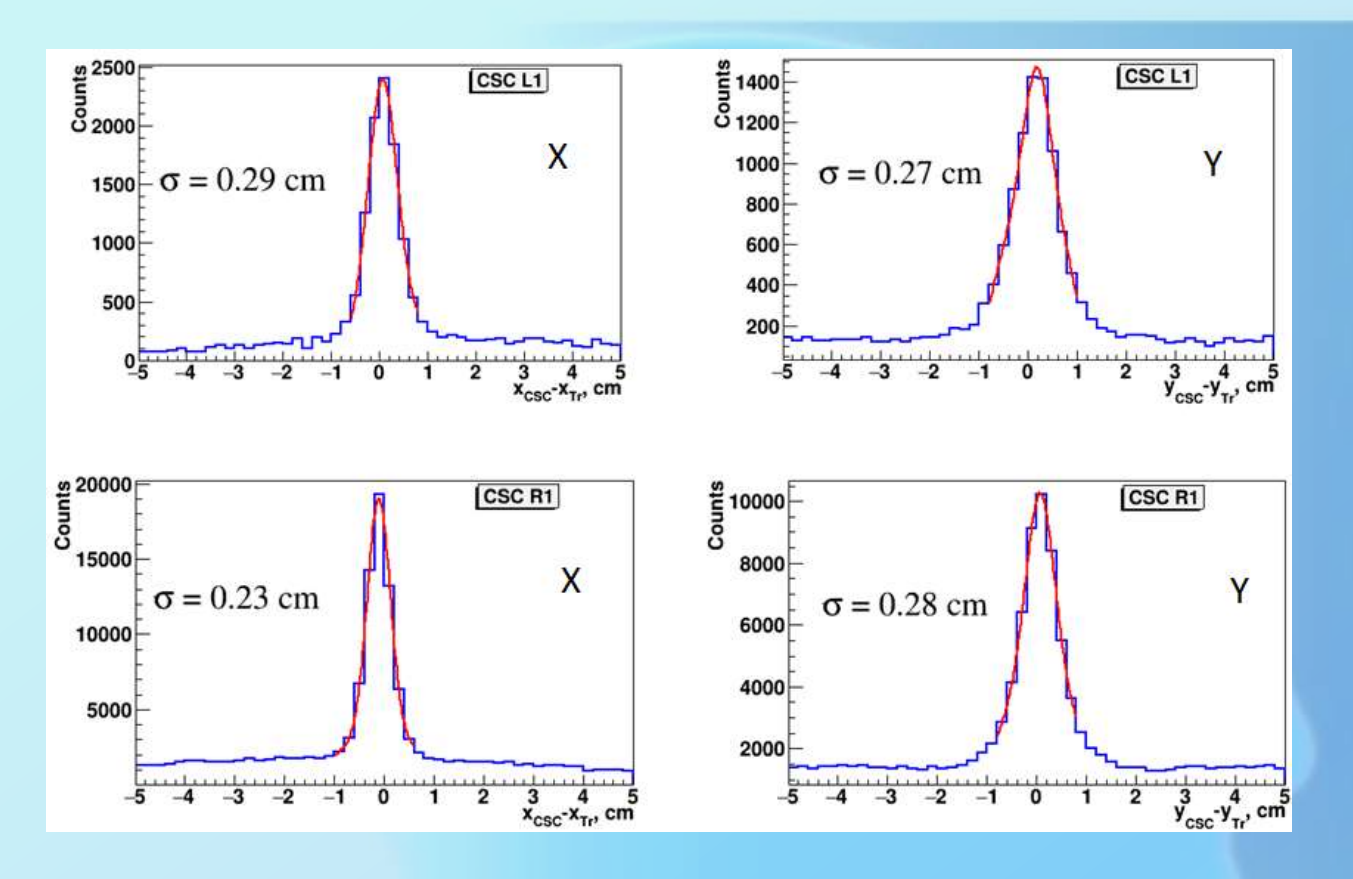
Определения эффективности и оценки пространственного разрешения CSC

Для определения эффективности и оценки пространственного разрешения CSC использовались первичные частицы с достаточным количеством хитов на трек с подтверждёнными в ToF-400 условиями:

- 1) импульс трека должен быть больше 1 ГэВ/с;
- 2) трек должен включать 5 или более хитов GEM (из 6 станций);
- 3) трек должен экстраполироваться в область положения мишени (в положении с z = 0 см -3 < x < 3 см и -3 < y < 3 см);
- 4)трек должен иметь подтверждение (хит) в детекторе ToF-400.
- 5) отклонение хита $|\Delta_{X(Y)}|$ в ToF-400 от трека < 2 см
- 6) отклонение хита $|\Delta_{X(Y)}|$ в CSC от трека < 6 см (все CSC хиты).



Также были построены распределения отклонений координат траекторий частиц от координат сработавших стрипов. Полученные распределения аппроксимировались функцией Гаусса.



Распределения отклонений координат траекторий частиц от координат сработавших стрипов (X/Y): для CSC3 (L1) и CSC2 (R1).

Космические испытание



Схема стендовых испытаний CSC на космических мюонах

